

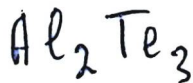
Al-Te



V. 3959 1917

Chikashige and Nozé

J. Nrm. Coll. Sci., Kyoto Imp. Univ. A 2,  
228 (1917)



Circ. 500



Tm  
5 (gp) 2

Аз Тб

(140)

ББ-1-3943.

1957

Карустанскій д. г.  
Тобуктубеев А.М.

Ноб. АГ СССР осн.

нарк. наук.

1951, 1952-200

✓ 3988 I953

$\text{SeCl}_4 \cdot \text{AlCl}_3$ ,  $\text{TeCl}_4 \cdot \text{AlCl}_3$  ( $T_m, D H_m$ )

Houtgraaf H., Rang H.J., Vollbracht L.

Recueit trav.chim., I953, 72, N 11,978-  
988 ( )

The binary system of selenium tetrachloride with aluminium chloride and the tellurium tetrachloride with aluminium chloride.

PX, I956, N 2,

340I

Есть ф. н.

150

$\text{Al}_2\text{Te}$

Ulmenerath.

1953

Steenken G.

Dtsch. Nationalbibliogr. 1955, B,  
N° 14, 1931.

1. Czernawa Al - Te. 2. R. Sonnen-  
cy o cyjescim obarwiu rassorjaz-  
now Al<sub>2</sub>Te. 3. Snortiss c alio-  
wemieci u weisprugow  
alioemieci

X-56-14-42638.2

V 3645

1956

$\text{Al}_2\text{O}$ ,  $\text{Al}_2\text{S}$ ,  $\text{Al}_2\text{Se}$ ,  $\text{Al}_2\text{Te}$ ,  $\text{AlO}$ ,  $\text{AlS}$ ,

$\text{AlSe}$ ,  $\text{AlTe}$ ,  $\text{Al}_2\text{O}_3$ ,  $\text{Al}_2\text{S}_3$ ,  $\text{Al}_2\text{Se}_3$ ,  $\text{Al}_2\text{Te}_3$  ( $\Delta H_f$ )

Gattow G.

Angew. Chem., 1956, 68, N 16, 521

Orientierende Berechnung der  
Bildungswärmen von Aluminium (I, II),  
- chalcogeniden

WPKA

PX., 1953, N 11, 35354

F

AlTeCl

1966

5 B28. Новая группа соединений алюминия. Теллурогалогениды  $\text{AlTeX}$ . Rouxel Jean, Palvadeau Pierre. Sur une nouvelle famille de composés des l'aluminium: les tellurohalogénures  $\text{AlTeX}$ . «Bull. Soc. chim. France», 1966, № 6, 2044—2046 (франц.)

Изучены р-ции  $\text{AlCl}_3$ ,  $\text{AlBr}_3$  и  $\text{AlI}_3$  с  $\text{Al}_2\text{Te}_3$  в запаянных трубках. Рентгенографич. анализ систем  $\text{AlX}_3$ — $\text{Al}_2\text{Te}_3$  при разных т-рах показал образование новой фазы при т-рах  $>300^\circ$ . При использовании избытка галогенида  $\text{Al}_2\text{Te}_3$  полностью исчезал при т-ре  $>350^\circ$ . Анализ остатка после удаления избытка галогенида (сублимацией в вакууме) приводит к ф-лам  $\text{AlTeCl}$  (I),  $\text{AlTeBr}$  (II) и  $\text{AlTeJ}$  (III). Теллурогалогениды Al представляют собой серовато-белые маслянистого вида в-ва, очень гигроскопичные, нерастворимые в этиловом эфире, абс.

x · 1967 · 5

спирте; ацетоне, бензоле, диоксане, хлороформе, бромбензоле,  $\text{CCl}_4$  и  $\text{CS}_2$ . I дает четкую порошковую, II и III — менее четкие. Определены межплоскостные расстояния для I, II и III. Соединения I и II могут быть получены также действием соответствующего галогенида на Te или различные теллуриды. При этом имеют место р-ции  $\text{AlX}_3 + \text{ZnTe} \rightarrow \text{AlTeX} + \text{ZnX}_2$ ;  $\text{AlX}_3 + \text{CdTe} \rightarrow \text{AlTeX} + \text{CdX}_2$  ( $X = \text{Cl}, \text{Br}$ );  $\text{AlCl}_3 + 2\text{Te} \rightarrow \text{AlTeCl} + \text{TeCl}_2$ ;  $2\text{AlBr}_3 + 3\text{Te} \rightarrow 2\text{AlTeBr} + \text{TeBr}_4$ . Первые две р-ции идут при т-ре  $400^\circ$  в случае хлорида и при  $350^\circ$  в случае бромида. Последние две р-ции идут с небольшим выходом (20% для хлорпроизводного и 15% для бромпроизводного). В вакууме I, II и III разлагаются без образования промежуточных фаз по ур-нию  $3\text{AlTeX} \rightarrow \text{Al}_2\text{Te}_3 + \text{AlX}_3$ . I разлагается при  $400^\circ$ , II при  $350^\circ$  и III при  $280^\circ$ . Теллурогалогениды быстро гидролизуются по ур-нию  $\text{AlTeX} + 3\text{H}_2\text{O} \rightarrow \text{Al}(\text{OH})_3 + \text{H}_2\text{Te} + \text{HX}$ . С кислородом реагируют по ур-нию  $2\text{AlTeCl} + 3/2\text{O}_2 \rightarrow \text{Al}_2\text{O}_3\gamma + \text{TeCl}_2 + \text{Te}$  и  $4\text{AlTeX} + 3\text{O}_2 \rightarrow 2\text{Al}_2\text{O}_3\gamma + \text{TeX}_4 + 3\text{Te}$  ( $X = \text{Br}$ , J). Для I р-ция начинается при  $100^\circ$ , для II при  $80^\circ$ , III реагирует при коми, т-ре. Действие  $\text{Cl}_2$  на I, II и III и действие  $\text{Br}_2$  на III приводят к разрушению соединений, напр.  $2\text{AlTeX} + 5\text{Cl}_2 \rightarrow 2\text{AlCl}_3 + 2\text{TeCl}_2 + \text{X}_2$ . Теллурогалогениды реагируют с  $\text{NH}_3$  по ур-нию  $\text{AlTeX} + 4\text{NH}_3 \rightarrow \text{AlTeNH}_2 + 2\text{NH}_3 + \text{NH}_4\text{X}$ . Термогравиметрическое исследование показало, что  $\text{AlTeNH}_2 \cdot 2\text{NH}_3$  при нагревании в вакууме при  $50^\circ$  теряет 1 молекулу  $\text{NH}_3$ , при  $110^\circ$  — остальные  $\text{NH}_3$ ;  $\text{AlTeNH}_2$  (IV) разлагается при  $210^\circ$  по ур-нию 3 IV  $\rightarrow \text{Al}_2\text{Te}_3 + \text{AlN} + 2\text{NH}_3$ . Под давлением  $\text{NH}_3$  IV разлагается при  $150^\circ$  по ур-нию 4 IV  $\rightarrow \text{AlN} + \text{H}_2\text{Te}$ . Изучение ИК-спектра IV подтвердило наличие группы  $\text{NH}_2$ . Термич. устойчивость и другие св-ва I, II, III и IV сравниваются со свойствами соответствующих окси- и тиосоединений.

И. Семенов

V - 5968

1967

Al<sub>2</sub>Te<sub>3</sub>

ΔHf

19 Б788. Энталпия образования теллурида алюминия. Joël H. A., Schneider A. Die Bildungsenthalpie von Aluminiumtellurid. «Naturwissenschaften», 1967, 54, № 22, 587 (нем.)

Энталпия образования Al<sub>2</sub>Te<sub>3</sub> определена путем прямого сплавления в калориметре стехиометрич. смеси Al и Te. Чистота Al 99,99%; Te 99,7%. Смесь порошкообразных в-в (размер частиц <0,06 мм) прессовали и помещали в tantalовый тигель. Кол-во образовавшегося Al<sub>2</sub>Te<sub>3</sub>, 94,2—97,1% от теоретич., устанавливалось измерением кол-ва H<sub>2</sub>, выделившегося после разложения продукта водой. Из 8 опытов получено ΔH° (обр., Al<sub>2</sub>Te<sub>3</sub>, тв.) = 76,2 ± 1,0 ккал/моль.

В. Колесов

X . 1968 : 19

*Al<sub>2</sub>Te<sub>3</sub>*

V-5968

1967

33821a Formation enthalpy of aluminum telluride. H. A. Joell and A. Schneider (Tech. Hochsch. Clausthal, Clausthal-Zellerfeld, Ger.).—Naturwissenschaften 54(22), 587(1967)(Ger). The standard enthalpy of formation for solid Al<sub>2</sub>Te<sub>3</sub> (f.p. 895°) was evaluated calorimetrically as  $-76.2 \pm 1.0$  kcal./mole.

DYJG

*DHF*

C.A.

1968. 68. 8

B9-5941-L

1968

Al<sub>2</sub>Te

Ficalora P.J., Hastie J.W.

127

Margrave J.L.

J. Phys. Chem., 72, N5, 1660.

Mass Spectrometric Studies at High

Temperatures. XXVII. The Reactions  
of Aluminum Vapor with S<sub>2</sub>(g), Se<sub>2</sub>(g),  
Te<sub>2</sub>(g).

(see note circled)

(cav. AlS) I

1968

124

AlTe  
2 2Ficalora P.J., Hastie J.W.,  
Margrave J.L.

Yerka  
Zupan  
chess

J. Phys. Chem., 72, N5, 1660  
Mass Spectrometric Studies at High  
Temperatures. XXVII. The Reactions of  
Aluminum Vapor with  $S_2(g)$ ,  $Se_2(g)$ ,  
 $Te_2(g)$ .

(seeuf weiter)

(cont. AFS) I

B9P-5941-V

AlTe

Ficalora P.J., Hastie J.W.,

Margrave J.L.

1969

124

nom. naehet., *J. Phys. Chem.*, 72, N5, 1660

Do Mass Spectrometric Studies at High  
Temperatures. XXVII. The Reactions of  
Aluminum Vapor with  $S_2(g)$ ,  $Se_2(g)$ ,  
 $Te_2(g)$ .

(see note on back)

I (Cu. Als)

B97-5941-K

1968

AlTe<sub>2</sub>

Ficalora P.J., Hastie J.W.

Margrave J.L.

127

наблюдается в J. Phys. Chem., 72, N 5, 1660  
мольерса

Mass Spectrometric Studies at  
High Temperatures. XXVII. The Reac-  
tions of Aluminum Vapor with S<sub>2</sub>(g),  
Se<sub>2</sub>(g), Te<sub>2</sub>(g).

(смн синтез)

(смн AlS) I

1971

 $\text{Al}_2\text{I}_6 \cdot 2\text{TeI}_4$ (T<sub>m</sub>)

(159m) Interaction of tellurium tetraiodide with aluminum(III), antimony(III), bismuth(III), and iron(II) iodides. Safronov, V. V.; Vasilishcheva, I. V.; Khazan, V. M.; Korshunov, B. G.; Fedorov, P. I. (Mosk. Inst. Tonkoi Khim. Tekhnol., Moscow, USSR). *Izv. Vyssh. Ucheb. Zaved., Tsvet. Met.* 1971, 14(4), 82-3 (Russ). Interactions on crystg. in the title systems were investigated by using thermal and x-ray phase anal. methods. Phase diagrams of the systems are presented. In the system  $\text{AlI}_3\text{-TeI}_4$ , the components form  $\text{Al}_2\text{I}_6 \cdot 2\text{TeI}_4$ , incongruently m.  $172^\circ$ , the transition point corresponds to 57.4 mole %  $\text{TeI}_4$  and eutectic point at  $116^\circ$  and ~40 mole %  $\text{TeI}_4$ . The system  $\text{SbI}_3\text{-TeI}_4$  forms a eutectic contg. 15 mole %  $\text{TeI}_4$  m.  $160^\circ$ . The system  $\text{BiI}_3\text{-TeI}_4$  has a eutectic ~75 mole %  $\text{TeI}_4$  which m.  $262^\circ$ . The system  $\text{FeI}_2\text{-TeI}_4$  forms a eutectic contg. 73 mole %  $\text{TeI}_4$  and m.  $253^\circ$ .

Jan J. Linek

C. H. 1972.

96.2

Bp - 214 - XV

1941

AlTe

AgTe

Al<sub>2</sub>Te<sub>3</sub>

DH,

Kp

Wyo.

Front Range

Tacacs. Faraday.

Soc., 1941, 64, n 5,

1293.



(Cu. AlS) I

20526.1989

X

TeCl<sub>4</sub>·AlBr<sub>3</sub>

1972

06683

OHf

VФ-643-XV

Координационная способность четырёххлористого теллура.

Пейсахова М.Е., Гольдштейн И.П., Гурьянова  
Е.Н., Кочешков Р.А.

"Докл. АН СССР", 1972, 203, № 6,  
1316-1319

0627 пик

613 617

0 0 0

ВИНИТИ

ВР-1333-XV

1973

TeCl<sub>4</sub>·AlBr<sub>3</sub>

6 В113. Исследование комплексов четыреххлористого теллура с галогенидами металлов III группы. Гольдштейн И. П., Гурьянова Е. Н., Пейсахова М. Е., Шифрина Р. Р. «Ж. общ. химии», 1973, 43, № 11, 2347—2351

С целью выяснения природы координац. связей в комплексах  $\text{TeCl}_4 \cdot \text{AlBr}_3$  (I),  $\text{TeCl}_4 \cdot \text{GaBr}_3$  (II),  $\text{TeCl}_4 \cdot \text{GaCl}_3$  (III) определены их дипольные моменты (I 9,72; II 6,63; III 6,18 D) и энтальпии образования I — 39,9; II — 26,3; III — 21,3 ккал/моль в бензоле, сняты ИК-спектры в области 200—600 см<sup>-1</sup>, измерена электропроводность бензольных р-ров комплексов. На основании полученных данных сделан вывод о электронодонорно-акцепторной природе координац. связей в комплексах  $\text{TeCl}_4 \cdot \text{MX}_3$ . При этом  $\text{TeCl}_4$  выступает в роли π-донора по отношению к  $\text{MX}_3$ . Показано, что акцепторная часть молекул комплексов имеет тетраэдрич. конфигурацию с  $C_{3v}$ -симметрией, характерную для донорно-акцепторных комплексов галогенидов металлов III группы.

Автореферат

(диф)

1.19.74  
№



1973

AlBr<sub>3</sub>·TeCl<sub>4</sub>Bp - 1333-XVGaBr<sub>3</sub>·TeCl<sub>4</sub>GaCl<sub>3</sub>·TeCl<sub>4</sub>(ΔH<sub>f</sub>)

Константинов

55435c Complexes of tellurium tetrachloride with Group III metal halides. Goldstein, I. P.; Gur'yanova, E. N.; Peisakova, M. E.; Shifrina, R. R. (USSR). *Zh. Obshch. Khim.* 1973, 43(11), 2347-51 (Russ). TeCl<sub>4</sub> forms highly polar 1:1 complexes with Group III metal halides. Compds. with AlBr<sub>3</sub> and GaCl<sub>3</sub> are almost unionized in C<sub>6</sub>H<sub>6</sub> and a donor-acceptor bond is formed with TeCl<sub>4</sub> acting as the donor in respect to MX<sub>4</sub>. The acceptor component has tetrahedral configuration in the complex that is typical of Group III halide complexes. The ir spectra and dipole moments were reported. Heats of formation were detd. for AlBr<sub>3</sub>, GaBr<sub>3</sub>, and GaCl<sub>3</sub> complexes with TeCl<sub>4</sub> and compared with those formed by Pr<sub>2</sub>S. G. M. Kosolapoff

C.A. 1974. 80. N10

$\text{Al}_2\text{O}_3 \cdot 3\text{TeO}_2$

BP-1422-XV

1973

127376e Phase diagram of the aluminum oxide-tellurium(IV) oxide system. Pavlova, T. M.; Samolavskaya, K. K.; Karapet-yants,

V. Kh. (USSR). *Tr. Mosk. Khim.-Tekhnol. Inst.* 1973, 75, 5-7 (Russ). The phase diagram of the  $\text{Al}_2\text{O}_3\text{-TeO}_2$  system was detd. by DTA at 50-100%  $\text{TeO}_2$ . A congruently melting compd.,  $\text{Al}_2\text{O}_3 \cdot 3\text{TeO}_2$ , m.  $720^\circ$ . Two eutectics are obsd. at 68.7 and 85 mole %  $\text{TeO}_2$  and 650 and  $675^\circ$ , resp.

(T<sub>m</sub>)

C.A. 1974. 81. N20

*Al<sub>2</sub>(TeO<sub>3</sub>)<sub>3</sub>*

8 Б737. Диаграмма состояния системы Al<sub>2</sub>O<sub>3</sub>—TeO<sub>2</sub>.  
Павлова Т. М., Самплавская К. К., Карапетьянц М. Х. «Тр. Моск. хим.-технол. ин-та  
им. Д. И. Менделеева», 1973, вып. 75, 26—27

1973

Методами ДТА и рентгенофазового анализа изучена система Al<sub>2</sub>O<sub>3</sub>—TeO<sub>2</sub> в области 50—100 мол. % TeO<sub>2</sub>. Исходные образцы готовились сплавлением Al<sub>2</sub>O<sub>3</sub> марки х. ч. с TeO<sub>2</sub> (чистота 99,6%) в атмосфере инертного газа в платиновых тиглях при 800—1200°. В изученной области конц-ий обнаружено одно соединение Al<sub>2</sub>(TeO<sub>3</sub>)<sub>3</sub> (т. е. Al<sub>2</sub>O<sub>3</sub>·3TeO<sub>2</sub>) (I), к-рое конгруэнтио плавится при 720°. Две эвтектики в системе расположены при 675° (15 мол. % Al<sub>2</sub>O<sub>3</sub>) и 650° (68,7 мол. % Al<sub>2</sub>O<sub>3</sub>). В области от 5 до 15 мол. % Al<sub>2</sub>O<sub>3</sub> наблюдается образование стекловидной фазы, кристаллизующейся в интервале 525—630°. Приведены значения *I* и *d* рентгенограммы порошка I.

А. Салов

ВР - 1422 - X

Х. 1974 № 8

$\text{Al}_2\text{Te}_3$

$\text{AlTe}_3\text{c}$

$\text{Al}_2\text{Te}$

$\text{AlTe}$

$\text{Al}_2\text{Te}_2$

ICLURA Y GUANACADA

1974

Mills K.C.

Thermodyn. Data for  
Inorganic Sulfides,  
Selenides and Tellurides.  
Part III. London, Butterworth

1974, cp. 127

$\text{Al}_2\text{O}_3 \cdot 3\text{TeO}_2 (\text{c})$  1974

Zhdanov V.N., Turdakin V.A.

Vachmenov V.E., Yarovova T.M.

БТТ, 1974, N 17, 99

$\text{Al}_2\text{Te}_3$

US-13556

1976

85: 52538f Calorimetric study of the binary aluminum-tellurium system. Said, H.; Castanet, R.; Kehiaian, H. V. (Cent. Rech. Microcalorimétrie Thermo chim., CNRS, Marseille, Fr.). *J. Less-Common Met.* 1976, 46(2), 209-15 (Fr). Enthalpies of formation in the Al-Te system were measured by direct reaction calorimetry at 1000, 1062, 1150 and 1188°K, and at mole fractions between 0 and 0.7. The molar enthalpies of formation and of fusion of the congruently melting compd.  $\text{Al}_2\text{Te}_3$  [12043-29-7] were detd. Evidence is presented for the continued existence of  $\text{Al}_2\text{Te}_3$  in the melt.

$\Delta H_f$ ;  $\Delta H_m$

C. I. 1976. 85. N8

$\text{Al}_2\text{Te}_2$  XV-3374 1976

Syverud Alan N.

1 M; J. Inorg. and Nucl.  
Chem., 1976, 38, N12,  
2163-2164.

7 Б675. Исследование температурной зависимости термодинамических свойств теллуритов алюминия, галлия и индия. Жданов В. М., Павлова Т. М.,

1976

Карапетьянц М. Х., Самплавская К. К.  
«Ж. физ. химии», 1976, 50, № 11, 2803—2806

С помощью вакуумного адабатич. калориметра в интервале 55—300 К измерены теплоемкости тв.  $\text{Al}_2\text{Te}_3\text{O}_9$  (I),  $\text{Ga}_2\text{Te}_3\text{O}_9$  (II) и  $\text{In}_2\text{Te}_3\text{O}_9$  (III). Экстраполяция к 0 К проведена по двухпараметровой цепочечной ф-ции теплоемкости Тарасова  $C_{1,3} = D_1(0_1/T) - (0_3/0_1) [D_1(0_3/T) - D_3(0_3/T)]$  (1) со значениями параметров  $0_1$  и  $0_3$  1010 и 101 К для I, 940 и 94 К для II, 870 и 174 К для III. Отмечено, что при использовании зависимости (1) максим. расхождение расчетных и эксперим. данных во всем исследованном интервале т-р не превышает 1—2%. Вычислены термодинамич. ф-ции  $[C_p, H_t^\circ, S_t^\circ, -(G_t^\circ - H_0^\circ)]$  I—III в интервале 50—298 К. При 298 К они равны соотв.: 65,81 кал/моль·град,  $10\ 968 \pm 38$  кал/моль,  $73,7 \pm 0,3$  э. е. и  $11\ 019 \pm 41$  кал/моль (I); 68,81;  $11\ 730 \pm 38$ ;  $79,0 \pm 0,5$  и  $11\ 835 \pm 43$  (II); 69,19;  $11\ 974 \pm 39$ ;  $82,0 \pm 0,5$  и  $12\ 481 \pm 44$  (III). Предположено, что I—III имеют каркасную структуру с преимущественно ковалентным типом связи.

П. М. Чукров

( $C_p$ )

(72)

ДС.1577Н7

XV-338/

$\text{Al}_2\text{Te}_3\text{O}_9$

XV-3381

$\text{Ga}_2\text{Te}_3\text{O}_9$ ;  $\text{In}_2\text{Te}_3\text{O}_9$

1976

86: 96955q Study of the temperature dependence of the thermodynamic properties of aluminum, gallium, and indium tellurites. Zhdanov, V. M.; Pavlova, T. M.; Karapet'yants, M. Kh.; Samplavskaya, K. K. (Mosk. Khim.-Tekhnol. Inst. im. Mendeleeva, Moscow, USSR). *Zh. Fiz. Khim.* 1976, 50(11), 2803-6 (Russ). The heat capacity of  $M_2\text{Te}_3\text{O}_9$  ( $M = \text{Al}, \text{Ga}, \text{In}$ ) was measured in an adiabatic calorimeter at 53-300 K. The heat capacity values obtained exptl. were extrapolated to 0 K for calcn. of  $S_T$ ,  $H_T - H_0$  and  $G_T - H_0$ .

$C_p$ ,  $S_T$ ,  
 $H_T - H_0$

$G_T - H_0$

(f2) 17

C.A. 1987. 86. 14

1977

$\text{Al}_2\text{Te}_3$   
(76, 2c)

Bazin Y., et al

mon II, cup, 32

298-1200

298 - 1163(2c)

1163 - 1200(2c)

• (see Ag) I

1978

AlTex  
GaTex  
InTex.

90: 12942c Study by differential calorimetric analysis on intermediary compound changes of state in the tellurium and IIIA metal system. Said, H.; Castanet, R. (Cent. Rech. Microcalorimetrie Thermochim., CNRS, Marseille, Fr.). *Journ. Calorim. Anal. Therm., [Prepr.]* 1978, 9-B, B22, 171-81 (Fr). The systems, Te-Al, Te-Ga and Te-In, were studied by differential calorimetry and their phase diagrams drawn. Enthalpies and entropies of fusion of congruent melting intermediates, enthalpies of transition, and peritectic decomprn. of other intermediates are reported. S. Aditya

$(\Delta H_m, \Delta S_m, T_m)$

②  $\square$



C.A. 1979, 89 N2

$\text{Al}_2\text{Te}_3$

$T_{\text{tr}} = 735 \pm 5 \text{ K}$

$T_m, T_{\text{tr}}$

Om 37156 / 1978

№ 14 Б779. Изучение изменений состояния промежуточных соединений в системах теллур — металлы III В группы методом дифференциального калориметрического анализа. Saïd H., Castanet R. Etude par analyse calorimetrique différentielle des changements d'état des composés intermédiaires des systèmes de tellure et de métaux III B. «Journ. calorim. et anal. therm., Torino, 1978. Vol. 9 B». Torino, 1978, B22/171—B22/181 (франц.)

Из измерений в калориметре Кальве изучены термич. эффекты в системах Te—Al, Te—Ga, Te—In. С использованием лит. данных для изученных систем построены фазовые диаграммы. В системе Al—Te найдены две эвтектики с т. пл.  $924 \pm 2$  и  $705 \pm 5 \text{ K}$  в областях с  $x_{\text{Te}} \ll 0,5$  и  $x_{\text{Te}} \gg 0,5$  соотв.,  $x_{\text{Te}}$  — мол. доля Te. Максим. т. пл.  $1230 \text{ K}$  имеет фаза состава  $x_{\text{Te}} = 0,405$ , обнаружен аллотропич. переход  $\text{Al}_2\text{Te}_3$  при  $735 \pm 5 \text{ K}$ . В системе Te—Ga величины т. пл. и оценоч-

д. 1979, № 14

ные значения  $\Delta H$  (кдж/г-атом) плавления равны:  
Ga<sub>2</sub>Te<sub>3</sub>  $1071 \pm 2$  К и  $10,0 \pm 0,5$ , GaTe 1108 К и  $15,5 \pm 0,5$ .

В системе Te—In найдены след. значения т. пл. и  $\Delta H$  (пл.) кдж/г-атом для составов  $x_{\text{Te}}$ : 0,4963 (InTe) 968 К и  $13,18 \pm 0,20$ ; 0,5604 (In<sub>3</sub>Te<sub>4</sub>) 923 К и  $15,0 \pm 0,4$ , 0,5999 (In<sub>2</sub>Te<sub>3</sub>) 940 К и  $12,76 \pm 0,20$ . Т-ры окончания перитектич. плавления фаз  $x_{\text{Te}} = 0,4380$  и  $x_{\text{Te}} = 0,7146$  равны 925 К и 855 К. Т-ра и  $\Delta H$  (кдж/г-атом) полиморфного превращения соединения In<sub>2</sub>Te<sub>3</sub> равны 890 К и  $0,60 \pm 0,01$ .

Ж. Г. Василенко

ФТМШК 8804

1980

$Al_2Te_3$

$K_p, 14f$

Д 9 Б739. Исследование испарения  $Al_2Te_3$ . Ferro D., Nappi B. M., Balduccci G., Piacente V. A vaporization study of  $Al_2Te_3$ . «Thermochim. acta», 1980, 35, № 1, 35—41 (англ.)

В т-рном интервале 538—760 К давл. паров над тв.  $Al_2Te_3$  определено масс-спектрометрич. методом Кнудсена, а также термогравиметрич. и торзионно-эффузионным методами. Результаты масс-спектрометрич. исследований показывают, что в изученном т-рном интервале единственной частицей в парах является газ

$Te_2$  (I). Найденная т-рная зависимость давл. паров I табулирована и передается эмпирич. ур-нием  $\lg P$  (в кПа) =  $(5,70 \pm 0,279) - (8270 \pm 152)T$ , где  $T$  — абр. па. Испарение Te, по-видимому, происходит при активности, близкой к единице, что объясняется протеканием в тв. фазе р-ции разл.  $Al_2Te_3 = 2,5Al_5Te + 13/5Te$  с последующим испарением Te и образованием молекул I в газ. фазе. Найдено также значение энталпии образования  $Al_5Te$ , равное  $-270,4 \pm 21$  кДж/моль.

В. Г. Юркин

2.1980.19

$\text{AlTe}_x$   
(cubic)

1981

95: 50292d Thermodynamic investigation on aluminum-tellurium alloys by differential thermal analysis and Knudsen-cell mass-spectrometry. Said, Hechmi; Chastel, Raymond; Bergman, Claire; Castanet, Robert (Cent. Thermodyn. Microcalorimetrie, CNRS, 13003 Marseille, Fr.). Z. Metallk. 1981, 72(5), 360-5 (Eng). A new phase diagram of the Al-Te system is proposed which is rather different from that in the literature. The existence of  $\text{Al}_5\text{Te}$  is rejected. Knudsen-cell mass spectrometry confirm the miscibility gap and yield free energy of formation of liq. alloys at  $0 < X_{\text{Te}} \leq 0.63$  at 1190 K.

pp. 308.  
quarfe.

C.A. 1981, 95, N 6.

$\text{Al}_2(\text{FeD}_3)_3$  [lom. 18167] 1983

Fospodinov G.G., Bogdanov  
B.G.,

$\Delta_f H^\circ$ ; Thermochim. acta, 1983,  
41, №3, 387-390.

$\text{Al}_2\text{TeO}_6$  1985

Gospodinov G. G.,  
Bogdanov B. G.

g; Thermochem. Acta, 1985,  
91, 363-364.

( $\text{Ce}_x \text{Ce}_3\text{TeO}_6$ ;  $\bar{1}$ )

$T_{\text{e}}y \cdot Al_x$

1986

Blot J.; Rogez J., et al.

J. Less-Common Met.

$\Delta_f H$ ,

1986, 118 (1), 67 - 82.

$\Delta_f S$ ;

(see  $\bullet Sn_y Al_x$ ; 1)

*Al<sub>7</sub>Te<sub>10</sub>*

*1986*

24 Б2040.  $\text{Al}_4\text{Te}_{10}$  — первый субтеллурид алюминия со связями Al—Al.  $\text{Al}_7\text{Te}_{10}$  — das erste Al-Subtellurid mit Al-Al Bindungen. Nesper R., Curda J. «Z. Kristallogr.», 1986, 174, № 1—4, 157 (нем.)

Рентгенографич. изучено строение  $\text{Al}_7\text{Te}_{10}$ , полученного из эл-тов сплавлением и кристаллизующегося в гексагон. сингонии:  $a = 14,409$ ,  $c = 17,680$  Å, ф. гр.  $\bar{R}\bar{3}2$ . Структура представляет собой дефектный вариант тетраэдрич. структуры, в к-рой 6-членные циклы с ваннообразной конформацией, чередуются с 4- и 7-членными циклами. Центральная часть структурной единицы содержит связь Al—Al с длиной 2,57 Å.

М. Б. Варфоломеев

*X. 1986, 19, № 24*

*Al<sub>7</sub>Te<sub>10</sub>*

1988

} 1 Б2047. Новые соединения теллура. Neue Tellur—Verbindungen / Keller C. // GIT.— 1988.— 32, № 8.— С. 877.— Нем.

Синтезом из элементов при 1200° С получен Al<sub>7</sub>Te<sub>10</sub>. Кристаллы ромбоэдрич.,  $a$  10,237 Å,  $\alpha$  89,35°, ф. гр. R 32. Основой структуры является двойной баррелан ( $\text{Te}_4\text{Al}_4$ )—( $\text{Al}_4\text{Te}_4$ ) с центр. связью Al—Al 2,60 Å. Все атомы Al в структуре образуют простые ковалентные связи, для атомов Te отмечено наличие двойных и тройных связей. При взаимодействии Te, Se, S с  $\text{SO}_2$  и  $\text{AsF}_5$  образуется  $(\text{Te}_2\text{Se}_6)(\text{Te}_2\text{Se}_8)(\text{AsF}_6)_4(\text{SO}_2)_2$ . Кристаллы монокл.,  $a$  12,432,  $b$  15,956,  $c$  23,053 Å,  $\beta$  96,61°, Z 4, ф. гр. P2<sub>1</sub>/c. Структура имеет ионное строение. Катион  $(\text{Te}_2\text{Se}_6)^{2+}$  построен как бицикло(2,2,2)октан, а катион  $(\text{Te}_2\text{Se}_8)^{2+}$  изоструктурен катиону  $(\text{Se}_{10})^{2+}$ .

М. В. Полякова

ж. 1989, N 1

*AlPe*

*Al<sub>2</sub>Te<sub>3</sub>*

*Al<sub>2</sub>Te<sub>5</sub>*

*III*

*X. 1988, 19, N 16*

*Om 29070*

*1988*

16 Б3076. Фазовые равновесия и промежуточные фазы в системе Al—Te. Phasengleichgewichte und intermedäre Phasen im System Al—Te. Kniep R., Blees P. «Z. Naturforsch.», 1988, B43, № 2, 182—188 (нем.; рез. англ.)

Методами ДТА и РФА изучены фазовые соотношения в системе Al—Te. Образцы получены нагреванием в вакуумированных кварцевых ампулах Al (99%) и Te (99,99%) при т-рах до ~900° С с закалкой в жидк. азот. Представлена фазовая диаграмма системы, в к-рой образуются три соединения: AlTe (I), Al<sub>2</sub>Te<sub>3</sub> (II) и Al<sub>2</sub>Te<sub>5</sub> (III). Т. пл. I 857° С (приведена штрихдиаграмма I). а-II устойчив до 720° С, β-II плавится при 903° С (конгруэнтно). а-II — монокл., суперструктура; *a* 41,565(8); *b* 7,189(1); *c* 25,477(7) Å;  $\beta$  90,21(2)°; *Z* = 48,  $\rho$  (изм.) 4,57 г/см<sup>3</sup>. Метастабильная кубич. фаза II (структура сфалерита, *a* 5,949(1) Å) получена термич. разл. соединений AlTeX (X=Cl, Br, J). III образуется при 415° С по р-ции а-II с Te и плавится инконгруэнтно при 465° С.

Л. Г. Титов

AlTe  
Al<sub>2</sub>Te<sub>3</sub>

(Tm)

L29184 (Dn. 29070)

1988

See 15205s Phase relations and intermediate phases in the aluminum-tellurium system. Kniep, Ruediger; Blees, Peter. *Z. Anorg. Chem. Strukturchem.*, Univ. Duesseldorf, D-4000 Duesseldorf, 1 Fed. Rep. Ger.). *Z. Naturforsch., B: Chem. Sci.* 1988, 43(2), 182-8 (Ger). The binary system Al-Te contains the intermediate phases AlTe (m.p. 857°), Al<sub>2</sub>Te<sub>3</sub> ( $\alpha$ -phase stable up to 700°;  $\beta$ -phase: m.p. 933°, congruent) and Al<sub>2</sub>Te<sub>5</sub> (stable at 415-465°, incongruent). The crystal structure of  $\alpha$ -Al<sub>2</sub>Te<sub>3</sub> in monoclinic superstructure;  $a$  41.565(8) Å,  $b$  7.189(1) Å,  $c$  25.477(7) Å,  $\beta$  121(2)°,  $Z$  48,  $D_2$  4.57 g/cm<sup>3</sup>. Positions of Te sub-cell (monoclinic P2<sub>1</sub>;  $a/3$ ,  $b$ ,  $c/6, \beta$ ) were detd. by direct methods; Te atoms are arranged in close-packed layers which are stacked along [100] with the sequence ABCBA. A metastable cubic phase of compn. Al<sub>2</sub>Te<sub>3</sub> with blende-type-structure;  $a$  5.949(1) Å; Al with random distribution) obtained by thermal decompr. of ternary compds. AlTeX (X = Cl, Br, I).

C.A. 1988, 108, N 18

*Al<sub>5</sub>Te<sub>4</sub>*

ЛМ 31657

1988

15 Б3149. Образование Al<sub>5</sub>Te<sub>4</sub> в твердом состоянии и его характеристики. Formation of Al<sub>5</sub>Te<sub>4</sub> in solid state and its characterisation / Sharma I. B., Batra S. // J. Indian Chem. Soc.— 1988.— 65, № 12.— С. 824—826.— Англ.

В диапазоне т-р 323—773 К методами РФА, ДСК, металлографич. анализа и измерением магн. восприимчивости исследована фазовая диаграмма Al<sub>5</sub>Te<sub>4</sub>, полученного в вакууме из элементов при 873 К. Синтезированная фаза имеет кубич. решетку с  $a = 6,147 \text{ \AA}$ . Материал является диамагн. При нагреве до 719,4 К эта фаза обратимо (в цикле охлаждения при 510 К) превращается в высокот-рную фазу с  $\Delta H = 84 \text{ Дж/г}$ . Кинетич. анализ фазового перехода в динамич. условиях показал, что процесс превращения связан с высокой величиной энтропии активации, что предполагает сильное разупорядоченное переходное состояние. Энергия активации перехода составила 381 кДж/моль. Изотермич. кинетич. данные следуют одномолек. закону случайного зародышеобразования.

В. А. Ступников

X. 1989, N 15

$\text{Al}_5\text{Te}_4(\text{k})$

(Om. 31657)

1988

110: 241537a Formation of aluminum telluride ( $\text{Al}_5\text{Te}_4$ ) in solid state and its characterization. Sharma, Indu Bhushan; Batra, Sulekha (Dep. Chem., Univ. Jammu, Jammu, 180 001 India). *J. Indian Chem. Soc.* 1988, 65(12), 824-6 (Eng).  $\text{Al}_5\text{Te}_4$ , prep'd. by heat-treatment of the constituent elements, is cubic with  $a$  6.147 Å. Differential scanning calorimetry suggests that the telluride undergoes a reversible phase transformation at 707-729.7 K. The material is diamagnetic. Kinetic anal. under dynamic conditions shows that the transformation process is assocd. with high value of entropy of activation, which suggests that the transition state in the process is highly disordered. Isothermal data follow the Mampel unimol. law of random nucleation.

( $T_{t2}$ )

C.A. 1989, 110, N.26

Al-Te (al. eneab)

1991

117: 12393t Thermodynamic investigations of liquid aluminum-tellurium, indium-tellurium and aluminum-selenium alloys. Lee, K. H.; Lee, J. J. (Dep. Met. Eng., Seoul Natl. Univ., Seoul, 151-742 S. Korea). *Taehan Kumsok Hakhoechi* 1991, 29(12), 1262-8 (Korean). Using a high temp. mixing calorimeter, the mixing enthalpies of liq. Al-Te, In-Te, and Al-Se alloys were detd. The strongly asym. concn. courses and triangular shapes of mixing enthalpies are attributed to the assoc. in the alloy melts. Almost complete assocn. formations are assumed in the alloy melts which also explains miscibility gaps in the liq. state of the systems. According to the exptl. results and to a comparative study, liq. demixing also occurs in the Al-Se system.

MERMOGEN  
CB - RA

In-Te (u. chg) Al - Se (al. eneab)

④ 2



C.A. 1992, 117, N 2

$\text{Al}_2(\text{TeO}_3)_3$

1992

15 Б3044. Дериватографическое определение температуры, энталпии и энтропии фазовых превращений теллуритов р-элементов групп IIIA—VA Периодической системы. Derivatographic investigation on the temperature enthalpy and entropy of the phase transformations of the tellurites of the p-elements from groups IIIA-VA of the periodic system /Gospodinov G. G., Gurova K. M. //Thermochim. Acta.—1992.—195.—С. 395—397.—Англ.

Фазовые превращения и сингония теллуритов  $\text{Al}_2(\text{TeO}_3)_3$  (I),  $\text{Ga}_2(\text{TeO}_3)_3$  (II),  $\text{Ge}(\text{TeO}_3)_2$  (III),  $\text{SnTe}_3\text{O}_8$  (IV),  $\text{PbTeO}_3$  (V),  $\text{Pb}_2\text{Te}_3\text{O}_8$  (VI),  $\text{Bi}_{16}\text{Te}_5\text{O}_{34}$  (VII) исследованы методом дериватографич. анализа и РФА. Теллуриты синтезировали методом осаждения из р-ров солей металлов приливанием р-ра теллурита щел. металла, а также спеканием оксидов при т-рах ниже т. пл. теллуритов. Хим. анализ подтвердил стехиометрию соединений. Установлены  $T_{fus}$ , К и  $\Delta H$ , ккал/моль: I 883 и 5,2; II 1153 и 76,8; III 943 и 24,4; IV, куб. 1178 и 30,5; VI, ромбич. 1033 и 7,7; VII, тетрагон. 1193 и 31,2. Превращение V, ромбич.,  $\rightarrow$  V тетрагон., происходит при 763 К,  $\Delta_{trs} H = 3,1$  ккал/моль, V, тетрагон.,  $\rightarrow$  V<sub>rig</sub> при 813 К,  $\Delta_{fus} H = 11,5$  ккал/моль.

$\text{Te}_2, \Delta H_{fus}$

$T_m, \Delta H_m$

44

X. 1993, N 15

Л. А. Резницкий

Tellurants Al

1994

121: 142890f Heat capacities and thermodynamic functions of the tellurates(IV) of aluminum, gallium, indium, and thallium. Gespodinov, G. G. (Dept. Inorg. Chem., Bourgas Univ. Tech., Bourgas, Burma 8010). *J. Chem. Thermodyn.* 1994, 26(7), 713-16 (Eng). The molar heat capacities  $C_{p,m}$  of the tellurates(IV) of Al, Ga, In, and Tl were measured at temps. from 350 K to 550 K by use of a differential scanning calorimeter. The thermodn. functions  $\Delta_{298.15}^{\circ} \text{K} H_m^{\circ}$ ,  $\Delta_0^{\circ} T S_m^{\circ}$ , and  $(\Phi_m^{\circ} + \Delta_0^{298.15} K H_m^{\circ}/T)$  were calcd. on the basis of values of  $\Delta_0^{298.15} K S_m^{\circ}$  and the authors' results for the temp. dependence of  $C_{p,m}^{\circ}$ .

( $G$ ,  $\Delta_m H$ )

Ans)

(73)

C.A. 1994, 121, N 12

Tellurants fa  
— — In  
— — Tl

*Tedz (Algy)*

*1995*

21 Б232.  $\text{SeBr}_3[\text{AlBr}_4]$  и  $\text{TeI}_3[\text{AlI}_4]$  — два дальнейших представителя структурного типа  $\text{SCl}_3[\text{AlCl}_4]$ .  $\text{SeBr}_3[\text{AlBr}_4]$  und  $\text{TeI}_3[\text{AlI}_4]$  — zwei weitere Vertreter des  $\text{SCl}_3[\text{AlCl}_4]$ -Strukturtyps / Beck J., Fischer A. // Z. anorg. und allg. Chem. — 1995. — 621, № 6. — С. 1042—1046. — Нем.; рез. англ. . Место хранения ГПНТБ

Желтые игольчатые кристаллы  $\text{SeBr}_2[\text{AlBr}_4]$  (I) получены из  $\text{AlBr}_3$  и  $\text{SeBr}_4$  в ампуле под аргоном в печи с перепадом температур  $150^{\circ}\text{C}$  —  $120^{\circ}\text{C}$  в холодной части. Темнокрасные многогранные изометрические кристаллы  $\text{TeI}_3[\text{AlI}_4]$  (II) получены приблизительно аналогично. Проведён РСТА (I, II,  $\lambda\text{Mo}$ , 2221 и 2902 рассмотренных отражения,  $R(\text{F})$  для 1447 и 2215 отражений 5,3 и 4,5%). Параметры моноклинных решеток I, II:  $a$  670,7, 731,9 пм,  $b$  663,9, 730,8,  $c$  1428,6, 1565,5 пм,  $\beta$  101,21, 102,01°,  $V$   $624,0 \cdot 10^6$  пм,  $\rho$  (выч.) 3,54, 4,23,  $Z$  2, ф. гр. Рс, структурный тип  $\text{SCl}_3\text{AlCl}_4$ . Структура состоит из пирами-

*Структура*

*X. 1995, N21*

дальних ионов  $EX_3$  и тетраэдрических ионов  $AlX_4$ . Атомы X дополняют координацию  $EX_3$  до искаженного октаэдра (I, Se—Br 230 пм, 329 пм, II, Te—I 270, 353 пм). Искажение октаэдра обусловлено неподеленной электронной парой Se и Te. Тетраэдры  $AlBr_4$  и  $AlI_4$  искажены слабо  $\sim 230$  и  $\sim 254$  нм (в  $PI_4[AlI_4]$  252 пм). Дополнение координации  $EX_3$  до 6 осуществляют два разных тетраэдра двумя и одной вершиной, в результате чего в направлении оси  $b$  образуются цепи из октаэдров и тетраэдров сочлененных поочередно ребрами и вершинами. Асимметричность структур обусловлена тем, что тетраэдры смотрят носиками в одну сторону, что также приводит к полярности.

Н. Л. Смирнова

*Al<sub>x</sub>Te<sub>5</sub>*

*1996*

*24 Б3188. Пентателлуриды M<sub>2</sub>Te<sub>5</sub> (M=Al, Ga, In). Полиморфизм, структурные свойства и гомогенность. Die Pentatelluride M<sub>2</sub>Te<sub>5</sub> (M=Al, Ga, In): Polymorphie, Strukturbeziehungen und Homogenitätsbereiche / Deiseroth H. J., Amann P., Thurn H. // Z. anorg. und allg. Chem. — 1996. — 622, № 6. — С. 985—993. — Нем.; рез. англ. Место хранения ГПНТБ*

*Tz*

*(2)*

*Ga<sub>x</sub>Te<sub>5</sub>*

*In<sub>x</sub>Te<sub>5</sub>*

*X. 1996, N 24*

1997

*Al<sub>2</sub>Te<sub>3</sub>*

2009/99  
P, BH,  
DfR.

128: 172791m On the vaporization behavior of Al<sub>2</sub>Te<sub>3</sub>. Balducci, Giovanni; Giustini, Antonio; Piacente, Vincenzo; Scardala, Paolo (Dipartimento di Chimica, Universita di Roma "La Sapienza", 00185 Rome, Italy). *High Temp. Mater. Sci.* 1997, 37(2), 115-124 (Eng), Humana Press Inc.. The vaporization of Al<sub>2</sub>Te<sub>3</sub> was studied. The total vapor pressure was measured by the torsion-effusion method in the temp. range 1058-1163 K. The temp. dependence is given by the equation: log(p/kPa) = (11.14 ± 0.30) - (16900 ± 1000) (K/T). The std. enthalpy of the decompn. reaction: Al<sub>2</sub>Te<sub>3</sub>(s) = 2 Al(s) + 3/2 Te<sub>2</sub>(g), ΔH°<sub>m</sub>(298) = (505 ± 10) kJ/mol, an av. of second- and third-law treatment of the results, was obtained. The derived heat of formation of Al<sub>2</sub>Te<sub>3</sub>, equal to ΔH<sub>f</sub>°(298) = (-260 ± 10) kJ/mol, lower than that quoted in literature, is discussed.

C.A. 1998, 128, N14

Ал<sub>2</sub>Te<sub>3</sub>

1997

19Б227. Кристаллическая структура  $\beta$ -Al<sub>2</sub>Te<sub>3</sub>. Die Kristallstruktur von  $\beta$ -Al<sub>2</sub>Te<sub>3</sub> / Conrad O., Schiemann A., Krebs B. // Z. anorg. und allg. Chem.—1997.—623, № 6.—С. 1006–1010.—Нем.; рез. англ. Место хранения ГПНТБ России

Твердые желтоватые или красноватые очень гигроскопичные кристаллы  $\beta$ (II) и  $\alpha$ (I) Al<sub>2</sub>Te<sub>3</sub> получены из элементов. I получен в ампуле при 800°C/5 ч. 600°C/3 суток, 580°C/2 суток, а II при 400°C/3 суток, 630°C/7 суток) и закалкой. Проведен РСТА (293 K, λMo, 1773 отражения с  $I > 2\sigma(I)$ ,  $R$  0,0245). Параметры моноклинной решетки:  $a$  7,181,  $b$  12,848,  $c$  14,167 Å,  $\beta$  90,04,  $V$  1307,1 Å<sup>3</sup>,  $Z$  8,  $\rho$ (выч.) 4,439, ф. гр.  $P2_1/c$  структура I представляет собой новый структурный тип. Атомы Te образуют гексагональную плотнейшую упаковку со слоями параллельными (001). Атомы Al занимают 1/3 тетраэдрических пустот так, что образуются слои. Тетраэдры в сло-

Кристал-  
структура

X. 1997, N 19

ях соединены ребрами и вершинами. В структуре можно выделить группы  $\text{Al}_4\text{Te}_{10}$ . Выделены также полоски двух типов. Проведено сравнение со структурой кубанита  $\text{CuFe}_2\text{S}_3$ , в которой образуются группы  $\text{Fe}_2\text{H}_{10}$ . Межатомные расстояния  $\text{Al}-\text{Te}$  2,537–2,658 Å,  $\text{Al}-\text{Te}$  2,541–2,673 Å. Объясняются причины двойникования. Н. Л. Смирнова

